CALETで明かされる宇宙線加速 伝播

浅野勝晃

(東京大学宇宙線研究所)

銀河風:宇宙線と銀河進化の結節点



Hot coronal gas

Sun

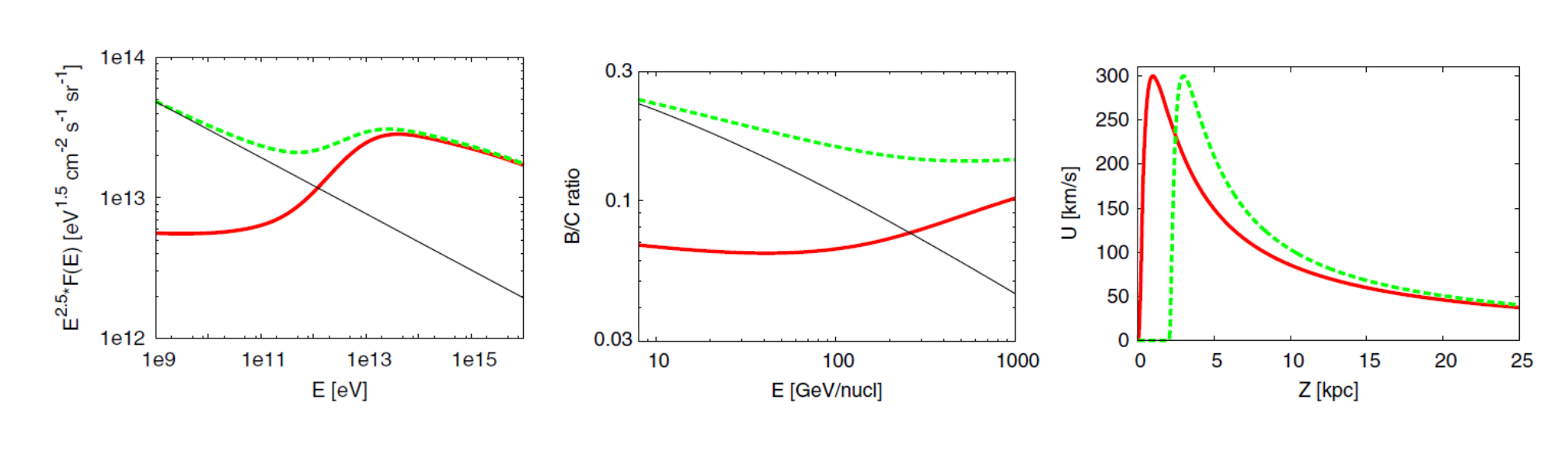
Cold condensed gas

Cold front (IVC-like)

Fountain cycle

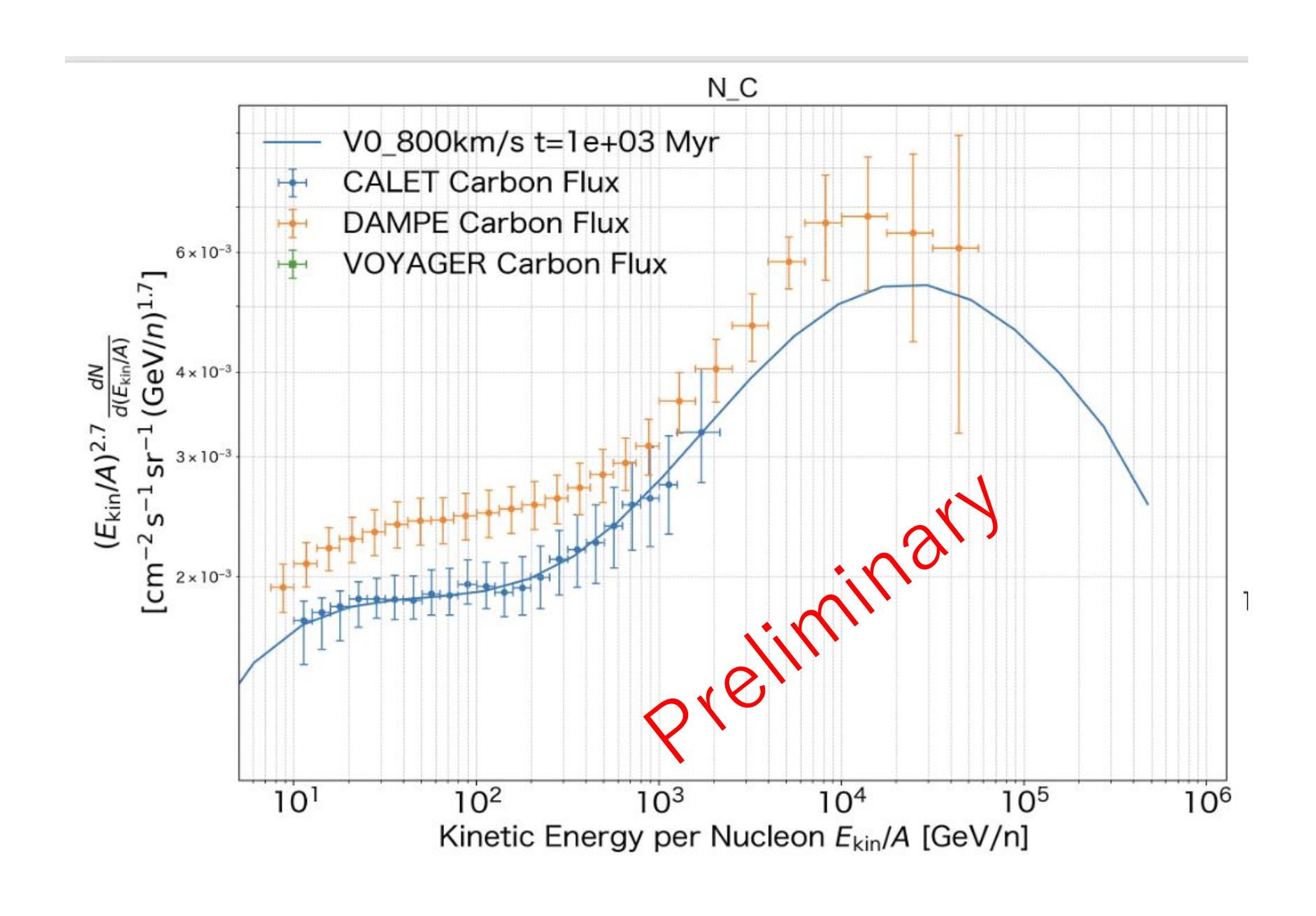
Fraternali 2017

- 過去に星で作られた多くの金属は銀河風によって排出されている
- 銀河風と新しいガスの降着がバランス
- 宇宙線による圧力・加熱が銀河風駆動及び高温ガスの形成に本質的 (eROSITA bubble Shimoda & Inutsuka 22).
- 宇宙線も銀河風も共に超新星を起源とする
- 一部のガスは冷えて再降着

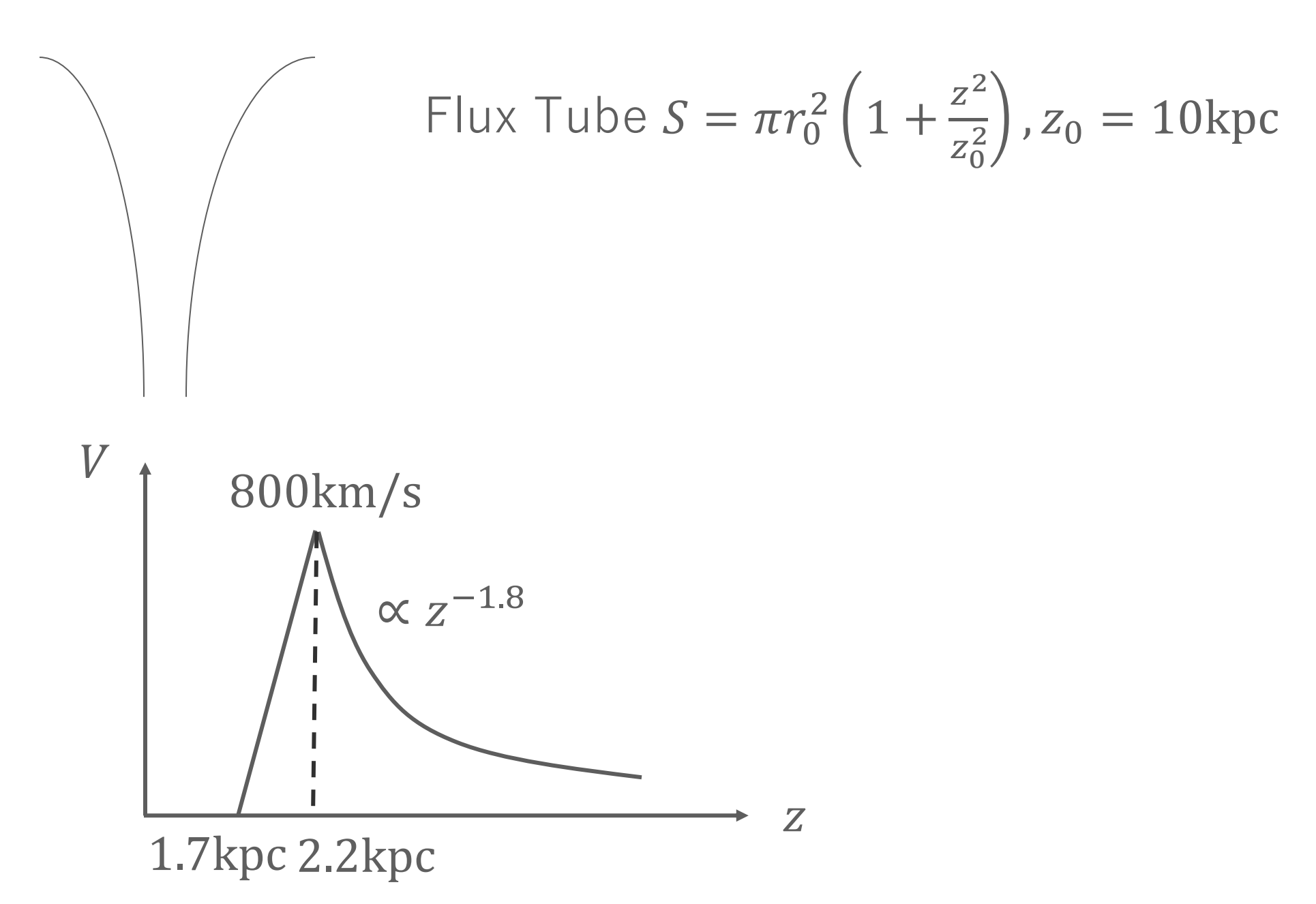


Taylor & Giacinti 17

銀河風による宇宙線スペクトルの説明



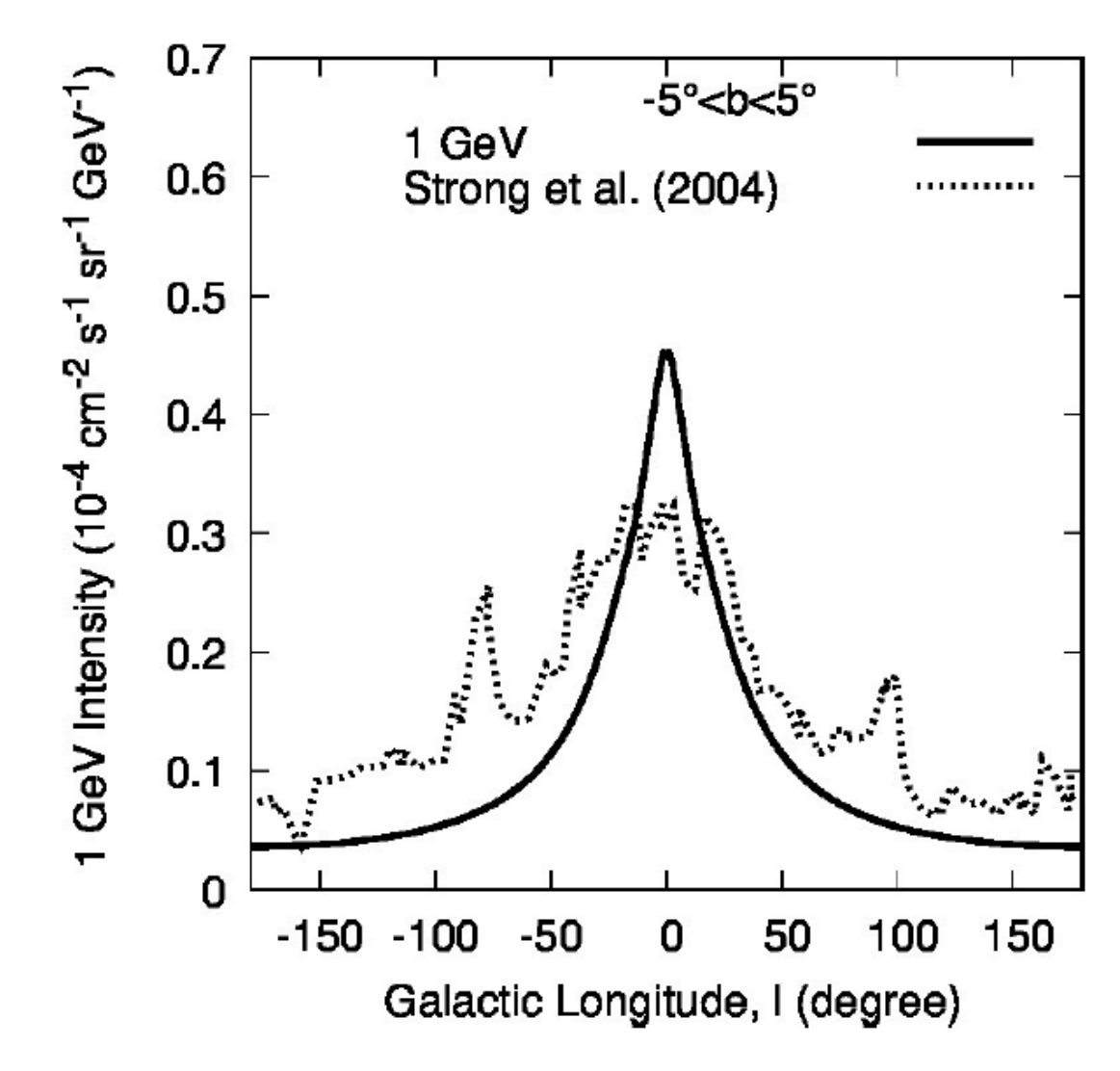
$$D = 1.4 \times 10^{28} \left(\frac{R}{\text{GV}}\right)^{1/3} \text{ cm}^2 \text{s}^{-1}$$



宇宙線は銀河風の構造を探るツールになりうる →銀河進化、星形成史

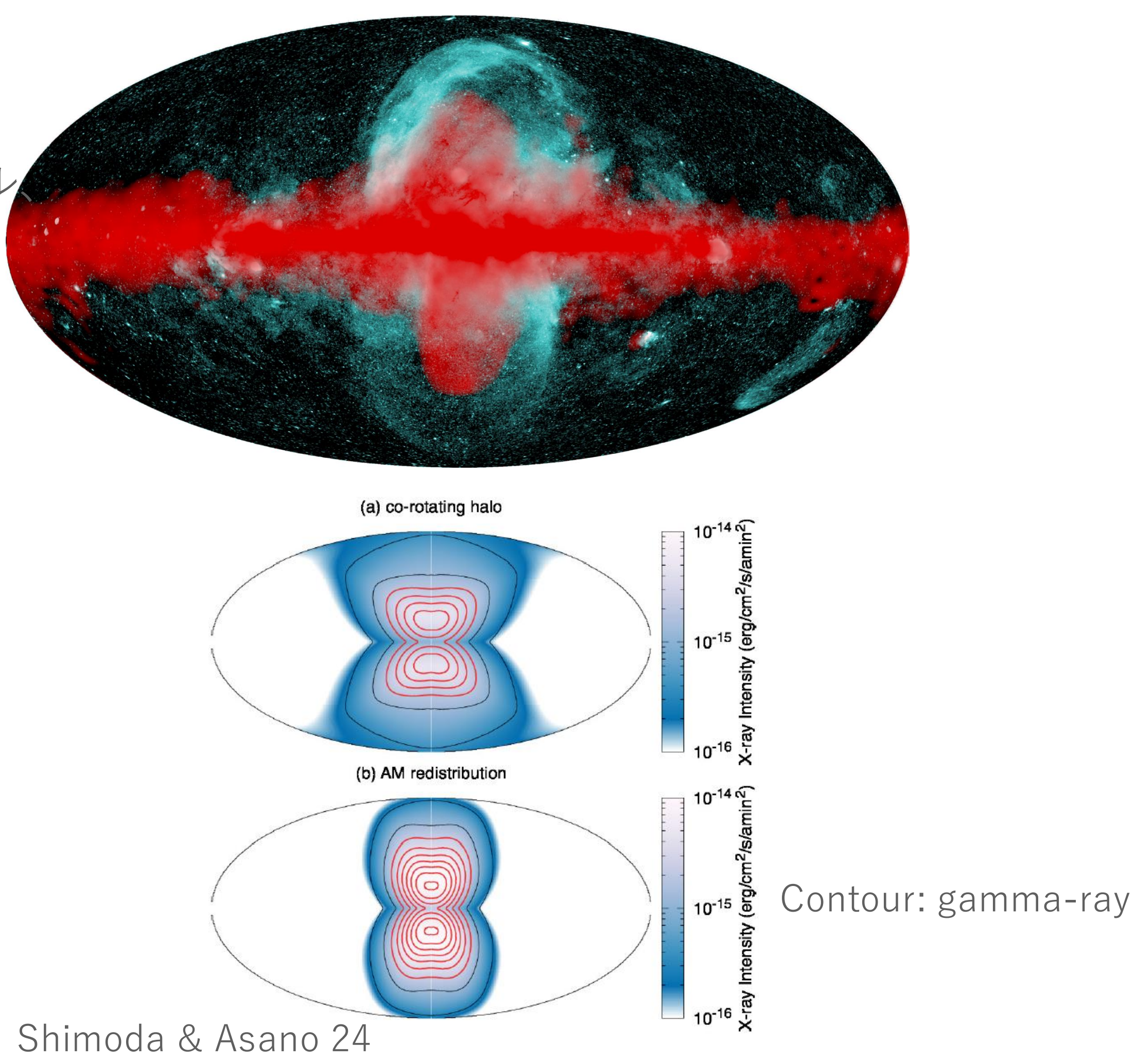
Fermi Bubble

宇宙線による銀河風はフェルミバブル eRositaバブルと整合的

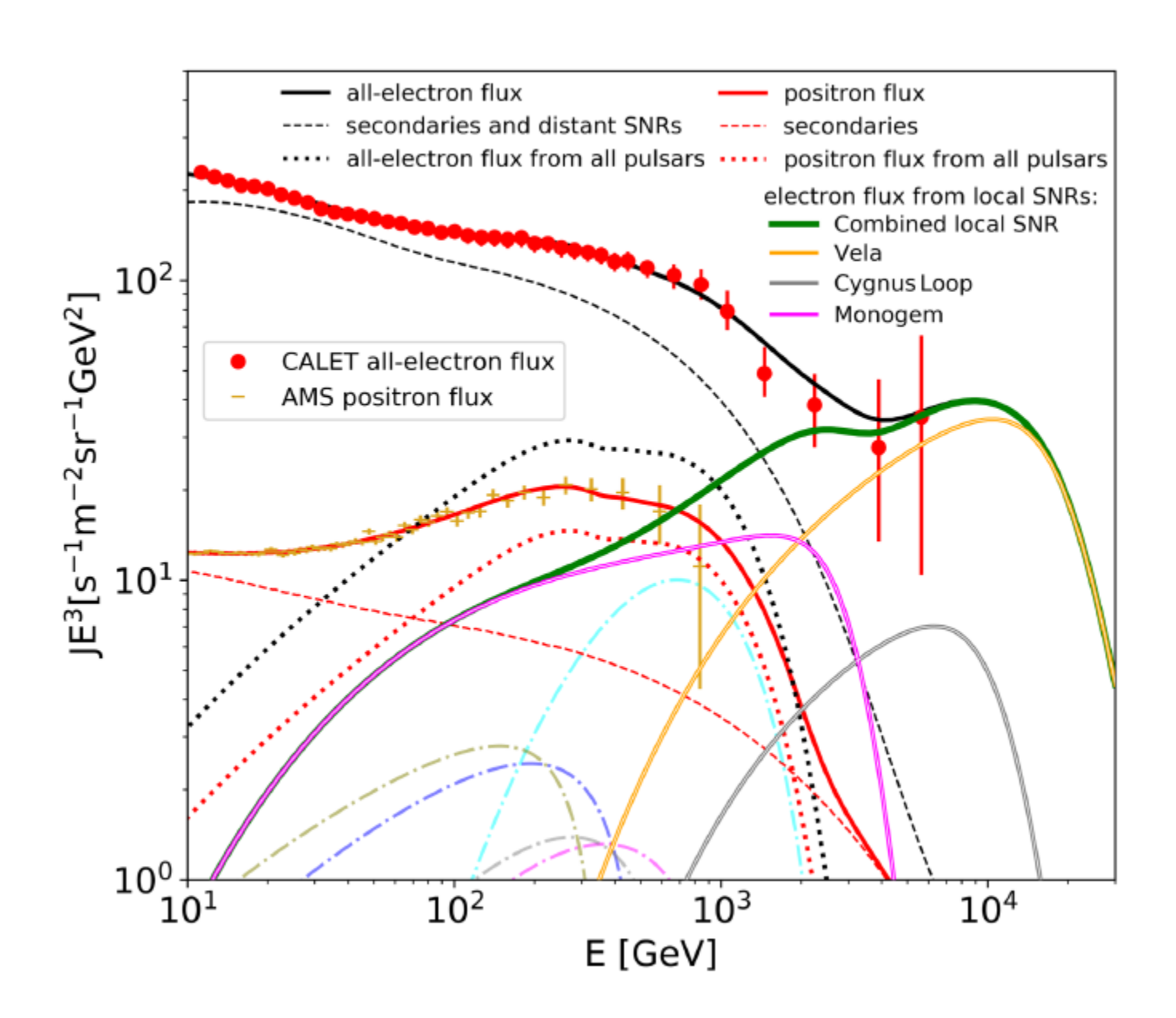


Surface brightness of 1GeV photons at the disk.

CR amount is consistent.



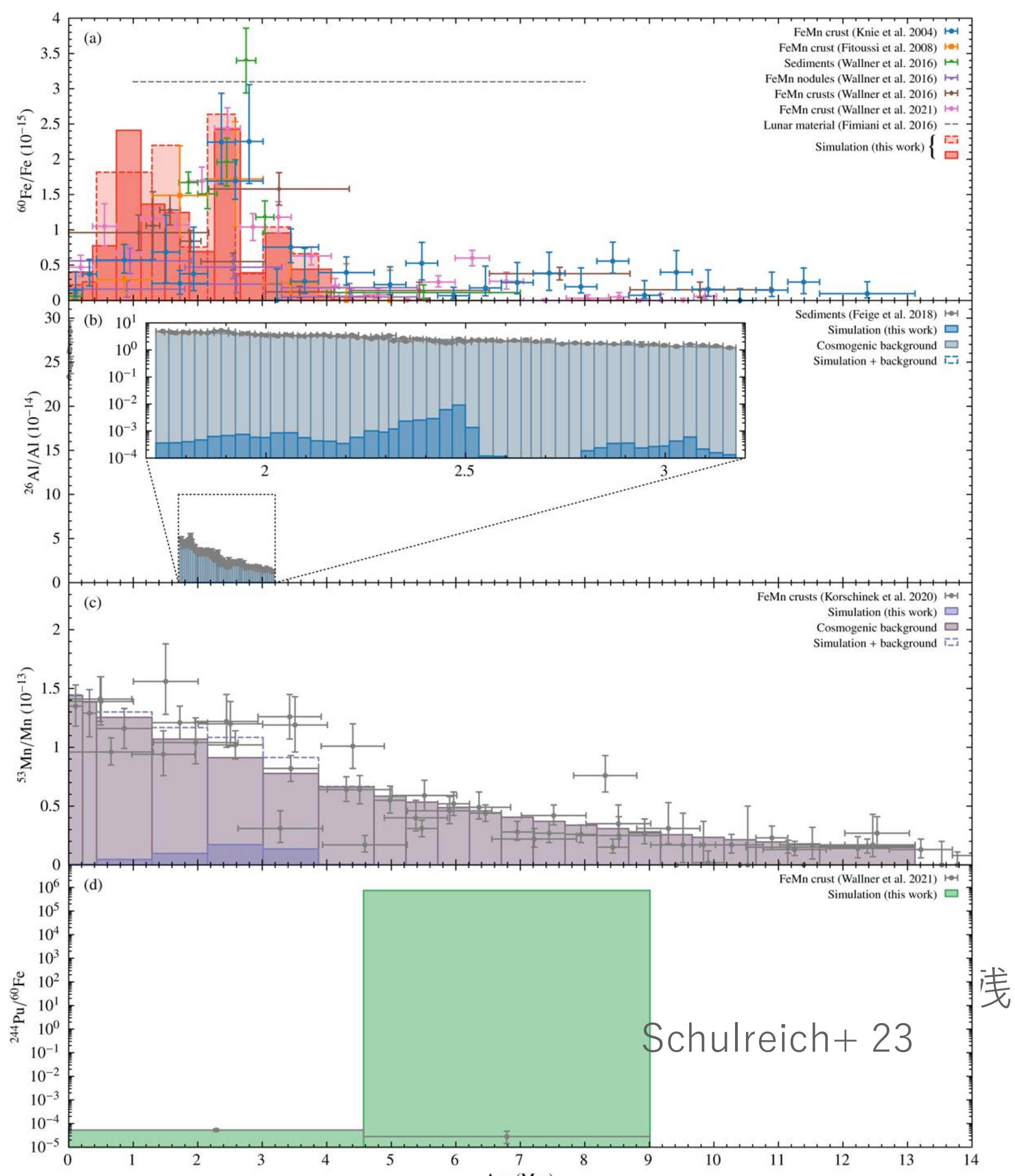
異なる可能性:近傍宇宙線源



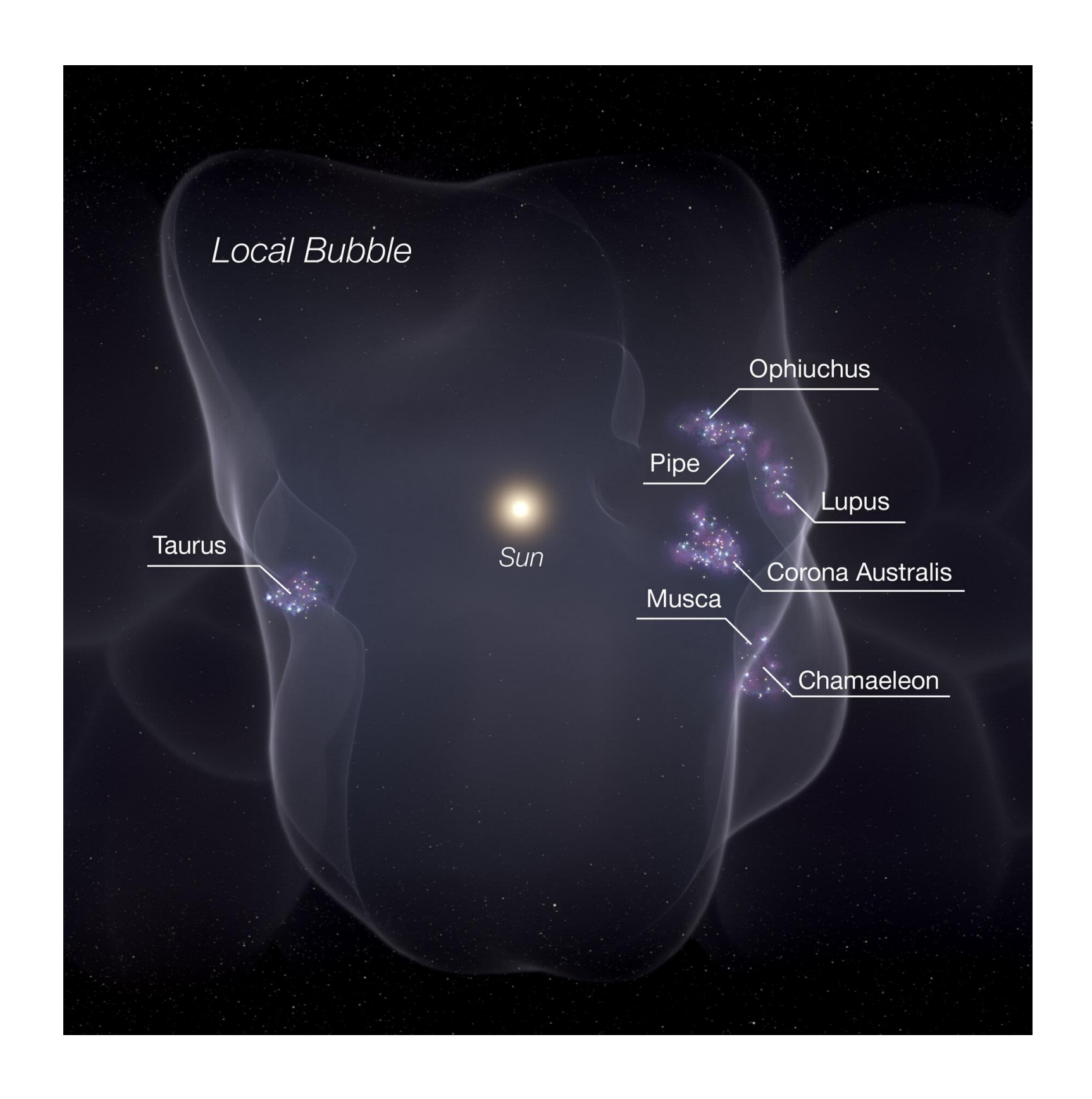
電子+陽電子宇宙線に対するVela SNRの寄与 (300 p c 10kyr)

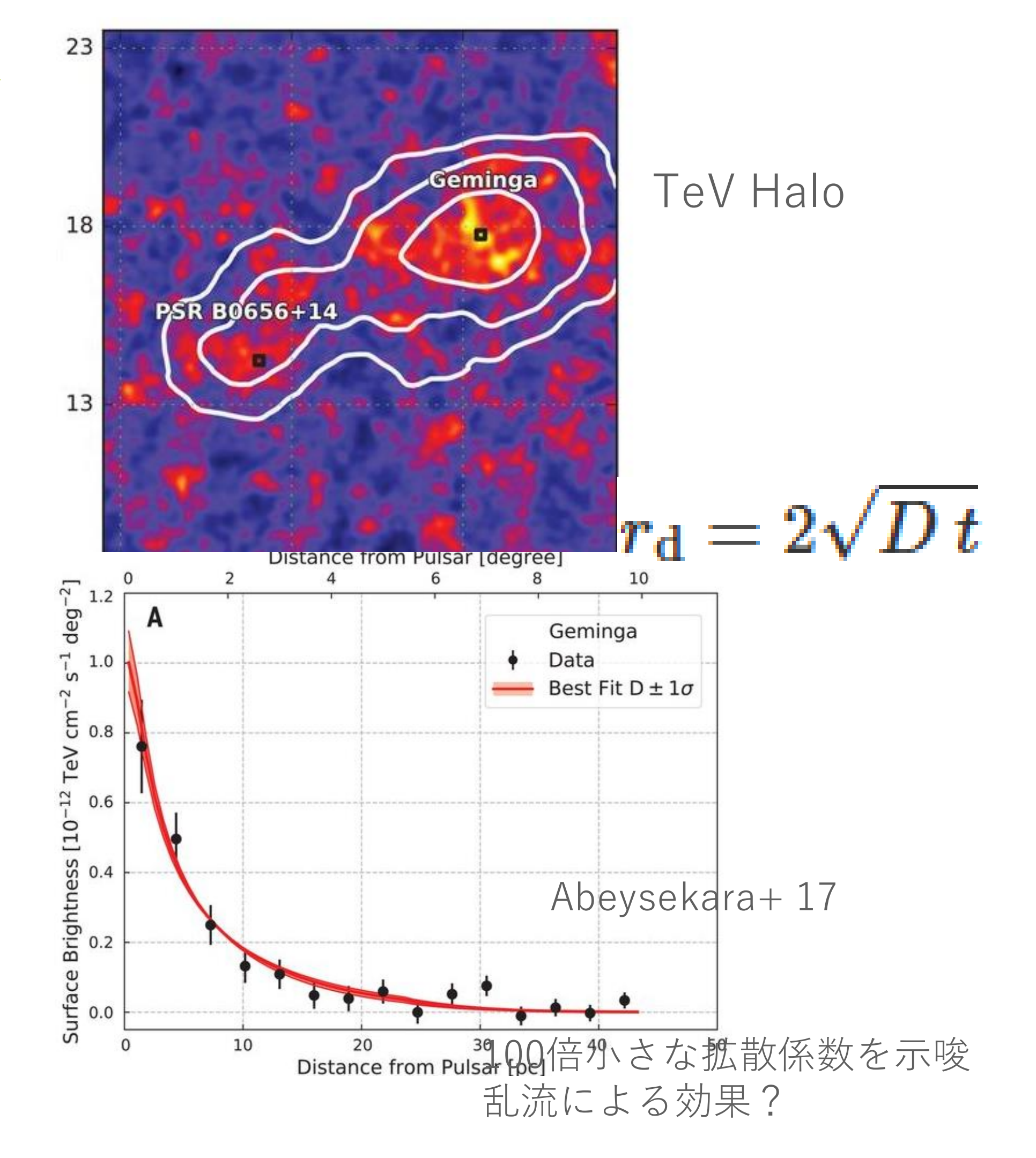
CALET 23

(DAMPEでも同様の兆候があるらしい)



Local Bubble: 拡散係数の抑制





CR+流体シミュレーション

$$\frac{\partial \rho_{g}}{\partial t} + \frac{1}{r^{2}} \frac{\partial}{\partial r^{2}} \left(r^{2} \rho_{g} v_{g} \right) = 0, \tag{1}$$

$$\rho_{g} \left[\frac{\partial v_{g}}{\partial t} + v_{g} \frac{\partial v_{g}}{\partial r} \right] = -\frac{\partial}{\partial r} \left(P_{g} + P_{cr} \right), \tag{2}$$

$$\frac{\partial}{\partial t} \left(\frac{1}{2} \rho_{g} v_{g}^{2} + \varepsilon_{g} \right) + \frac{1}{r^{2}} \frac{\partial}{\partial r^{2}} \left[r^{2} \left(\frac{1}{2} \rho_{g} v_{g}^{2} + P_{g} + \varepsilon_{g} \right) v_{g} \right]$$

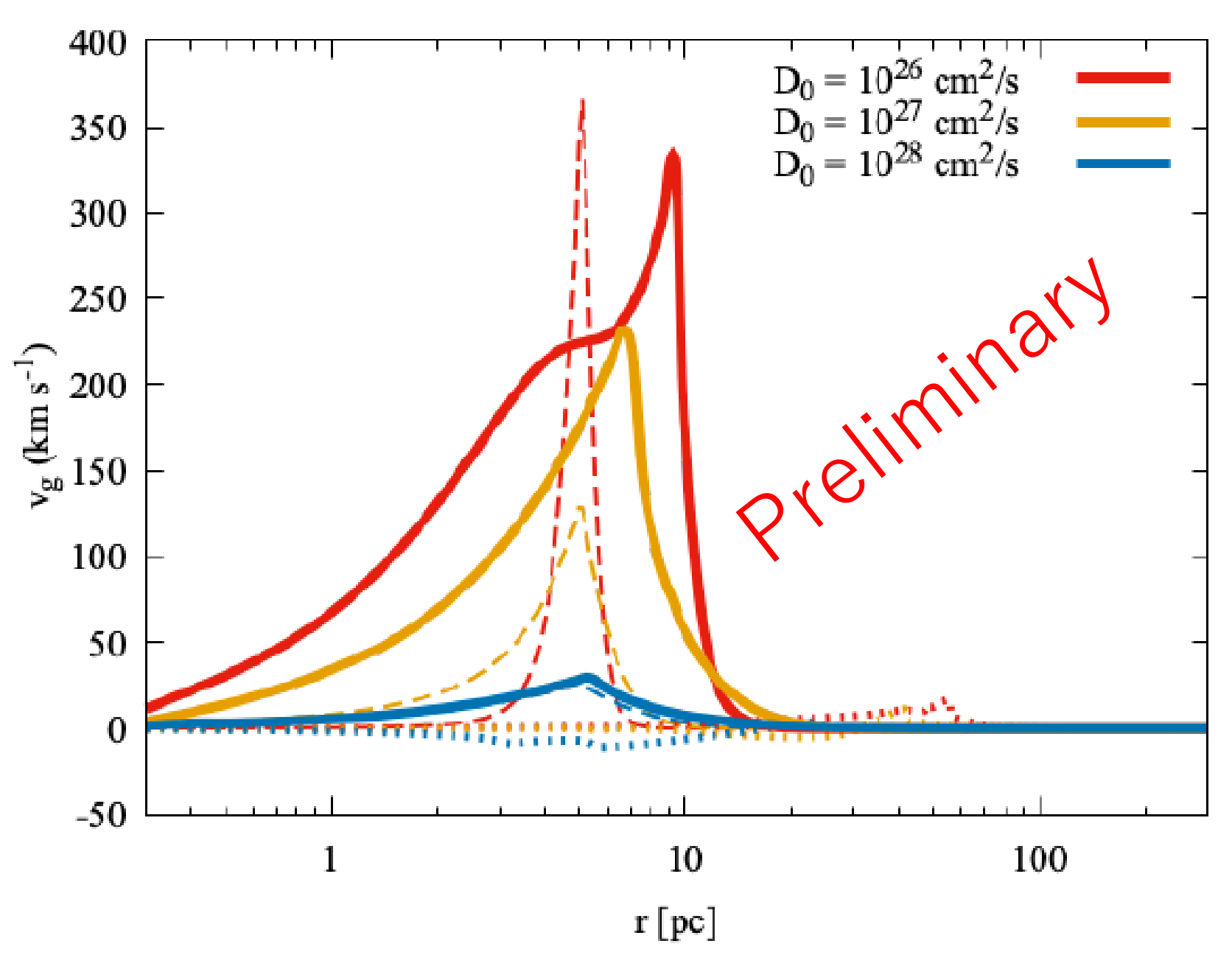
$$= n_{g} \left(\Gamma_{g} - n_{g} \Lambda \right) + \frac{1}{r^{2}} \frac{\partial}{\partial r} \left(r^{2} \mathcal{K} \frac{\partial T_{g}}{\partial r} \right)$$

$$- v_{g} \frac{\partial P_{cr}}{\partial r} + \int \epsilon \frac{\partial}{\partial p} \left[f \left(\frac{dp}{dt} \right)_{C} \right] dp + \left| \mathcal{V}_{A} \frac{\partial \varepsilon_{cr}}{\partial r} \right|, \tag{3}$$

$$\frac{\partial f}{\partial t} + \frac{1}{r^{2}} \frac{\partial}{\partial r} \left(r^{2} v_{g} f - r^{2} \mathcal{D} \frac{\partial f}{\partial r} \right)$$

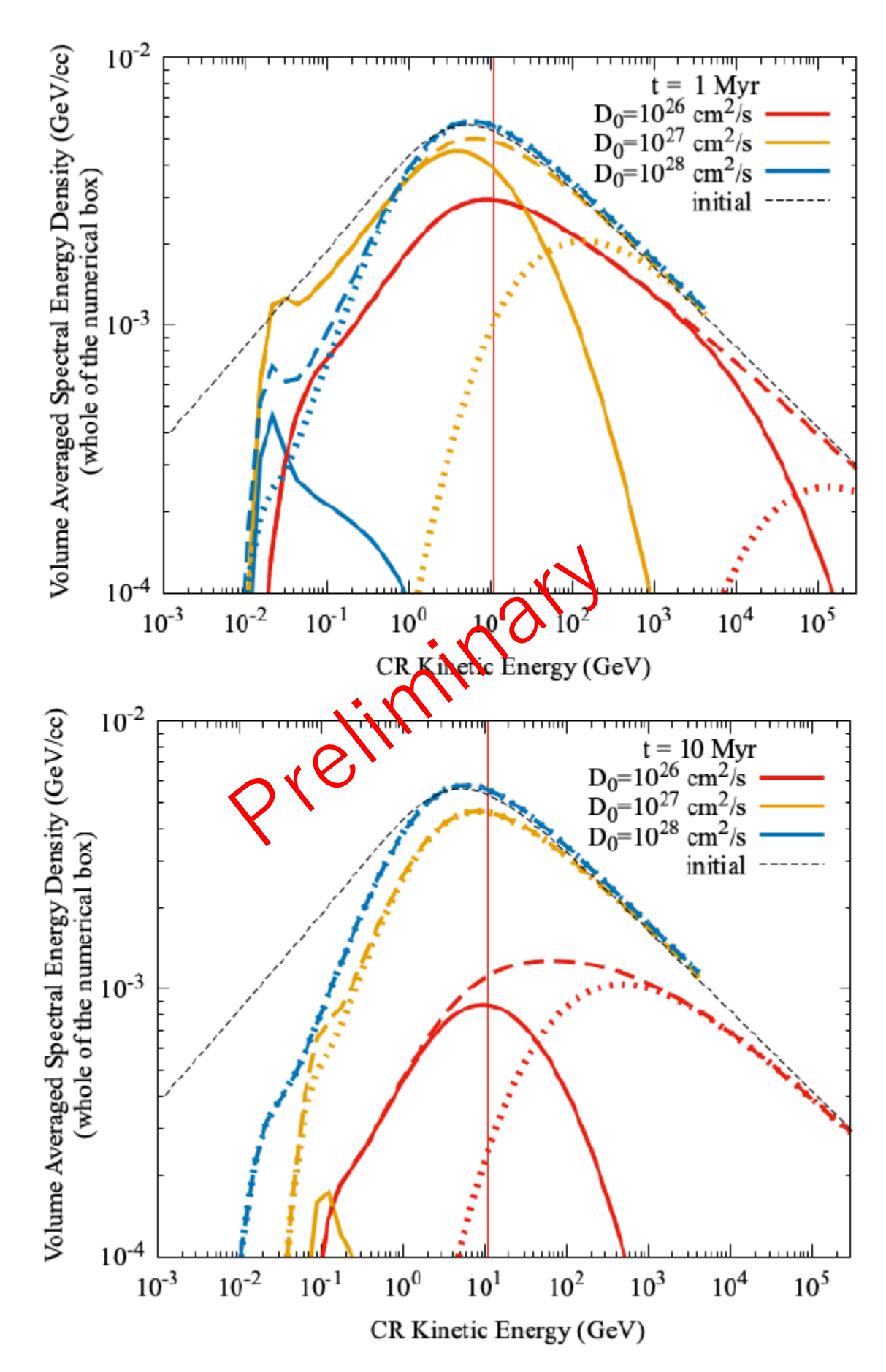
$$= \frac{1}{r^{2}} \frac{\partial}{\partial r} \left(\frac{r^{2} v_{g}}{3} \right) \frac{\partial (pf)}{\partial p} - \frac{\partial}{\partial p} \left[f \left(\frac{dp}{dt} \right)_{C} \right] - \left| \mathcal{V}_{A} \frac{\partial f}{\partial r} \right|, \tag{4}$$

1050ergの宇宙線をISMに放出



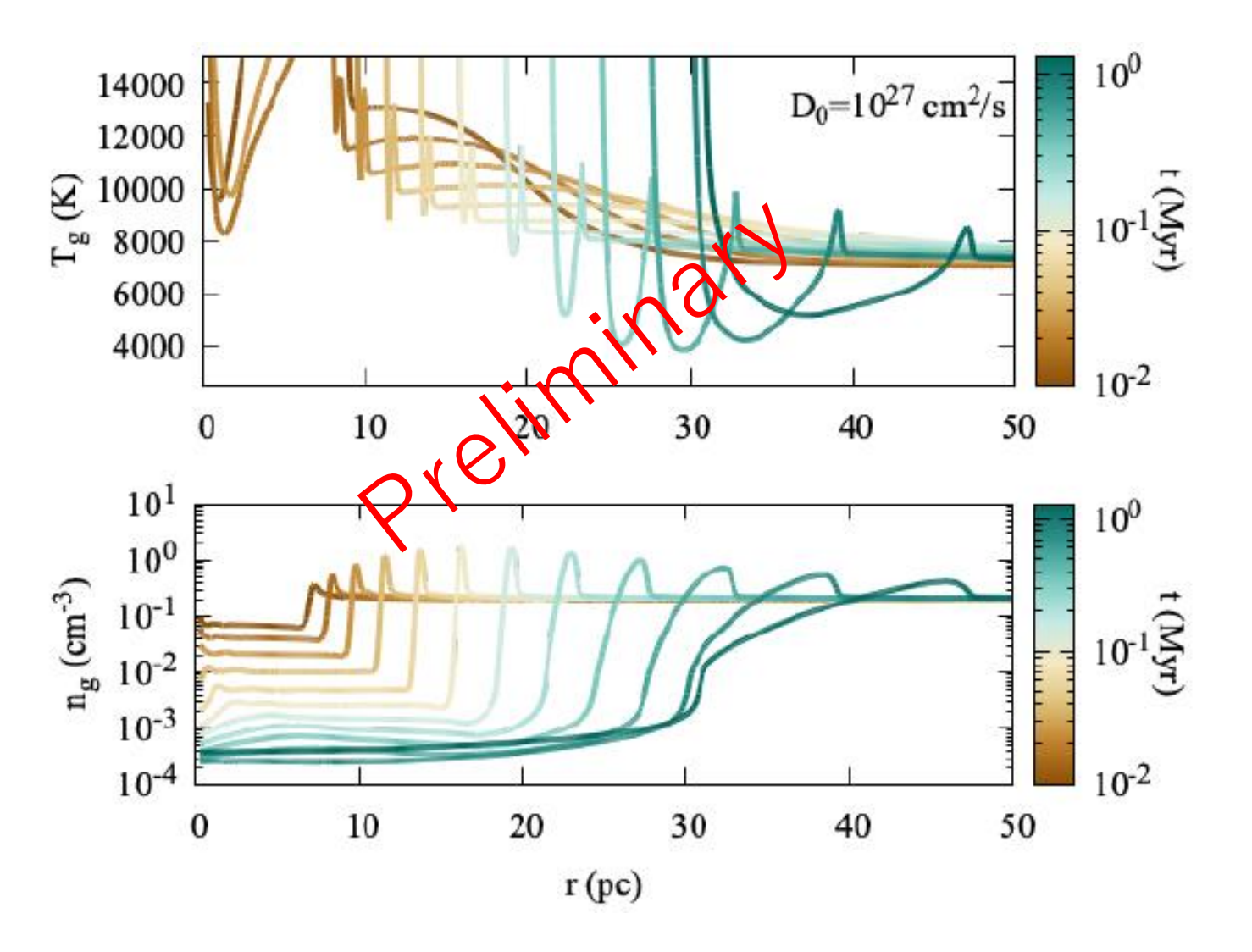
小さな拡散係数=強くCRと流体がcouple 外側にガスを押し出す Windの起源にも Shimoda+ in prep.

宇宙線スペクトル

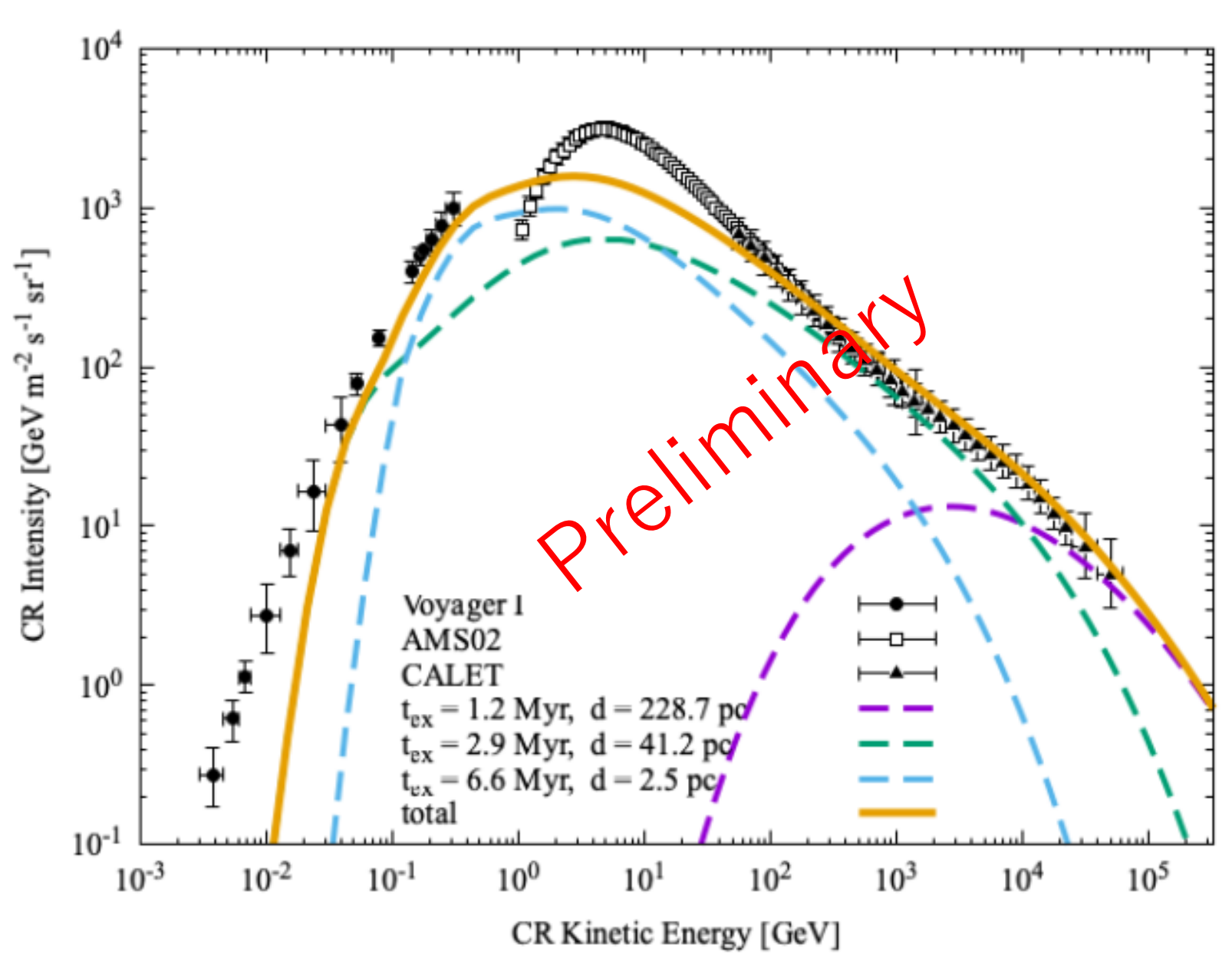


実線: 残存粒子

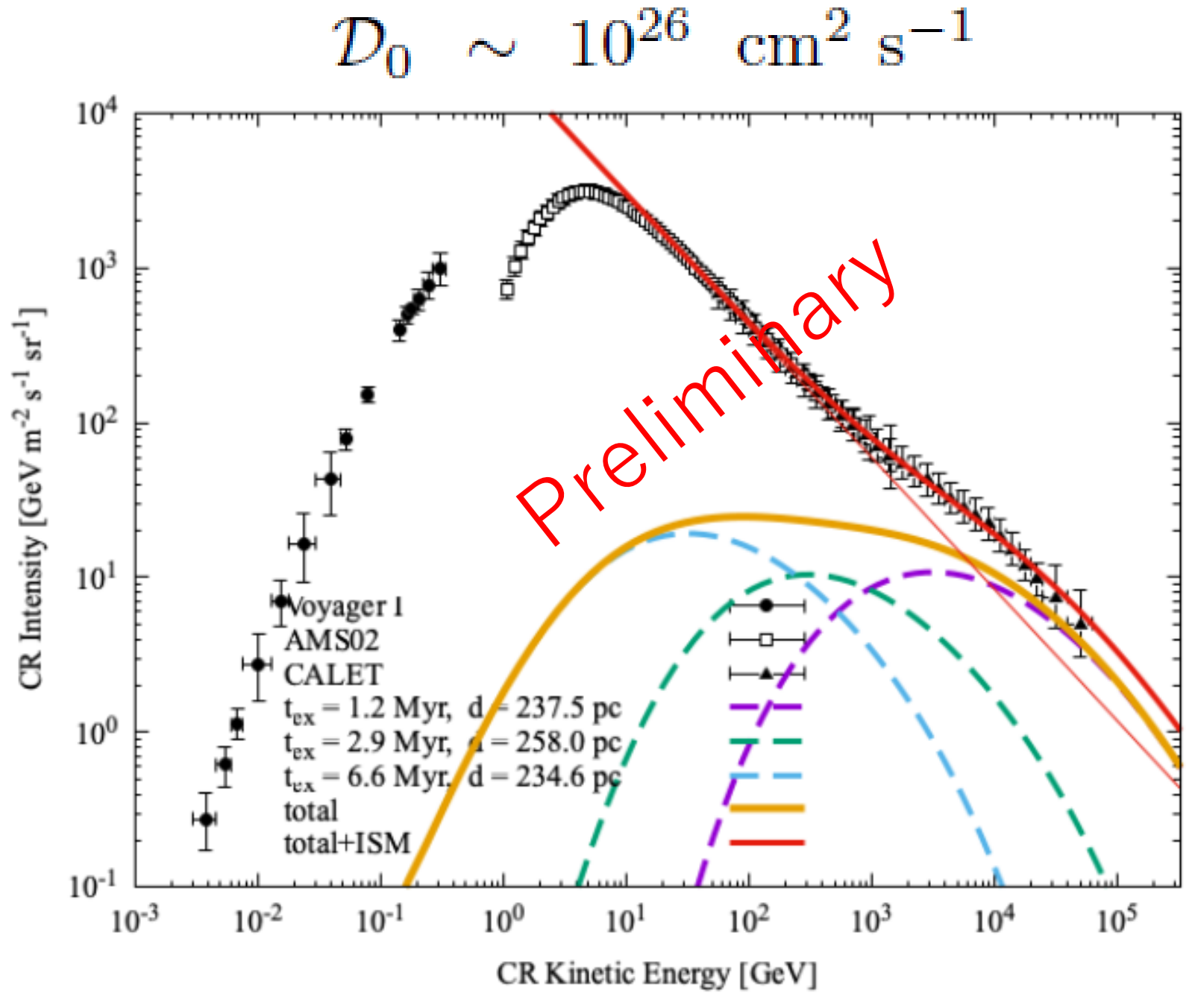
拡散係数が小さいと、 流体にエネルギーを与え、spectrumのhardeningが起きる。



Local bubbleの数発のSNの寄与



3発のSN Local CRのほぼすべてを説明。やりすぎ? 抑制された拡散係数が外から来る宇宙線をブロック? 要)



Hardening部分だけに寄与する例 (CRと流体相互作用によるHardeningが重

Summary

- 1. 普遍的に見られる500GVにおけるHardening
- 拡散係数のエネルギー依存性の変化 (Ad hoc?)
- 3. 銀河風の影響(宇宙線と銀河の共進化)
- 4. Local bubbleに閉じ込められた宇宙線成分